

## ОТРАЖЕНИЕ КИЛОЭЛЕКТРОНВОЛЬТНЫХ ЭЛЕКТРОНОВ

*В.П.Афанасьев, С.Д.Федорович, М.С.Есимов, А.В.Лубенченко,  
А.А.Рыжов*

Московский энергетический институт, 105835  
(Поступило в Редакцию 25 декабря 1993 г.)

Для интерпретации данных, полученных на основе оже-спектроскопии, электронной микроскопии, локального рентгеноспектрального анализа, необходимы подробные характеристики потока обратнорассеянных электронов. Наиболее детальную информацию об отраженном электронном потоке дают энергетические спектры электронов, рассеянных в данный телесный угол, которые, следуя [1], будем определять функцией отражения  $R(\mu, \Delta)$  (мы будем рассматривать случай нормального падения пучка электронов на полубесконечную мишень), где  $\mu$  — косинус угла между направлением отражения электронов и внешней нормалью к поверхности мишени,  $\Delta = E_0 - E$  определяет потерю энергии. Имеющиеся экспериментальные данные по  $R(\mu, \Delta)$  [2–8] отличаются у разных авторов как количественно, так и качественно, что объясняется как различием методов энергоанализа, так и некритичным (в ряде случаев) отношением к чистоте поверхности мишени. В существующих теоретических моделях отсутствует детальное описание процесса флуктуаций энергетических потерь. Эти факторы и определяют задачи настоящей работы.

Экспериментальная установка состоит из высоковакуумной металлической стекловательной камеры с прогреваемыми уплотнениями, которая снабжена системой электронной инжекции и ионной пушкой для очистки поверхности мишеней, и системы безмасляной откачки. Рабочий вакуум поддерживается в процессе измерений на уровне  $2 \cdot 10^{-8}$  Тор. Энергоанализ отраженных электронов выполняется 180-градусным сферическим электростатическим энергоанализом (ЭЭ) с разрешением по энергии  $\Delta E/E \approx 1\%$ .

На рис. 1 представлены спектры электронов, отраженных от поликристаллического палладиевого массивного образца, в интервале энергий  $E_0$  от 4 до 32 кэВ. Наиболее радикально спектры на рис. 1 отличаются от результатов [2–8] поведением в области малых потерь энергии вблизи  $E_0$ , где наблюдается ярко выраженная немонотонность, которую, следуя терминологии оже-спектроскопии, назовем пи-ком упругоотраженных электронов.

Представленные на рис. 2 спектры получены в случае отражения электронов от алюминиевого и медного образцов при нормальном падении с рассеянием на угол  $135^\circ$  при  $E_0 = 4, 8, 32$  кэВ.

В работах [1, 2] показано, что функция отражения электронов, потерявших энергию  $\Delta$  и рассеянных под углом  $\vartheta$  ( $\mu = -\cos \vartheta$ ), определяя-

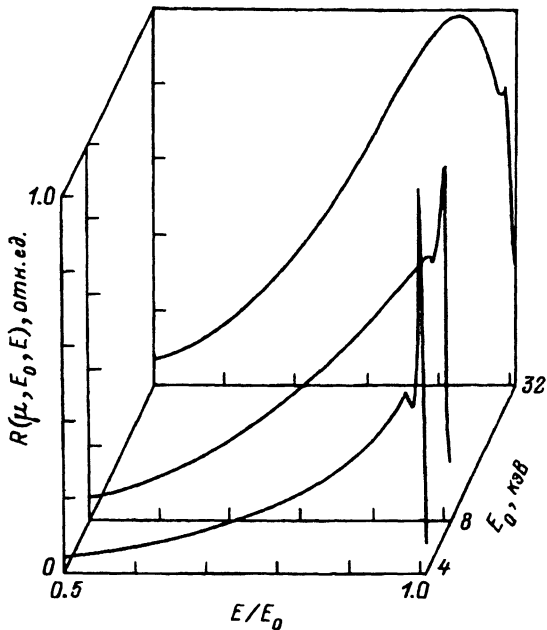


Рис. 1. Энергетические спектры электронов, отраженных от массивного поликристаллического палладиевого образца. Нормальное падение пучка, рассеяние на угол  $135^\circ$ ,  $E_0 = 4, 8, 32$  кэВ.

ется выражением

$$R(\mu, \Delta) = \frac{\mu}{1 + \mu} \sum_{l=1}^{\infty} \frac{2l+1}{2} P_l(\mu) \sigma_l n \frac{E_0}{2\pi i} \int_{-\gamma-i\infty}^{\gamma+i\infty} \frac{\exp(p\Delta) dp}{W(p) + \sigma_{tr} n \frac{l(l+1)}{2}}, \quad (1)$$

где  $W(p)$  — лаплас-образ, определяемый дифференциальным сечением неупругого рассеяния [9];  $P_l$  — полиномы Лежандра;  $\sigma_l$  — коэффициенты разложения упругого дифференциального сечения в ряд по  $P_l$ ;  $\sigma_{tr} = \sigma_1$  — транспортное сечение;  $n$  — концентрация атомов мишени.

Формула (1) допускает запись  $R(\mu, \Delta) = \int_0^{\infty} A(u, \mu) t(u, \Delta) du$ , где функция

$$A(u, \mu) = \frac{\mu}{1 + \mu} \sum_{l=1}^{\infty} \frac{2l+1}{2} P_l(\mu) \sigma_l n \exp\left(-\frac{u}{l_{tr}} \frac{l(l+1)}{2}\right), \quad (2)$$

полученная в малоугловом диффузионном приближении, определяет распределение по пробегам  $u$  частиц, отраженных от мишени с рассеянием на угол  $\vartheta$ ; функция

$$t(u, \Delta) = \frac{E_0}{2\pi i} \int_{-\gamma-i\infty}^{\gamma+i\infty} \exp(p\Delta - uW(p)) dp \quad (3)$$

представляет собой известное решение Ландау [9] и определяет энергетический спектр электронов, имевших начальную энергию  $E_0$  и прошедших путь  $u$ . Отметим, что максимум пробегового распределения (3) соответствует примерно транспортной длине ( $u \approx l_{tr}$ ).

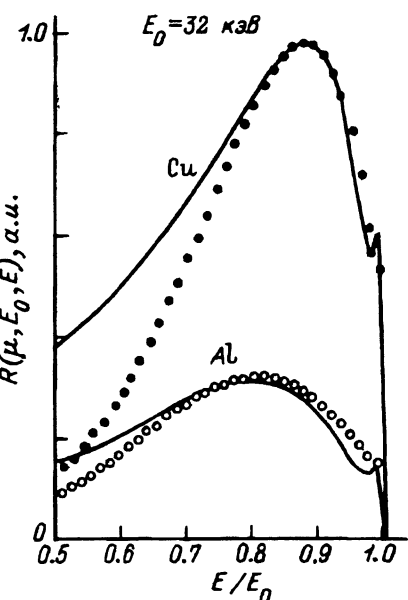
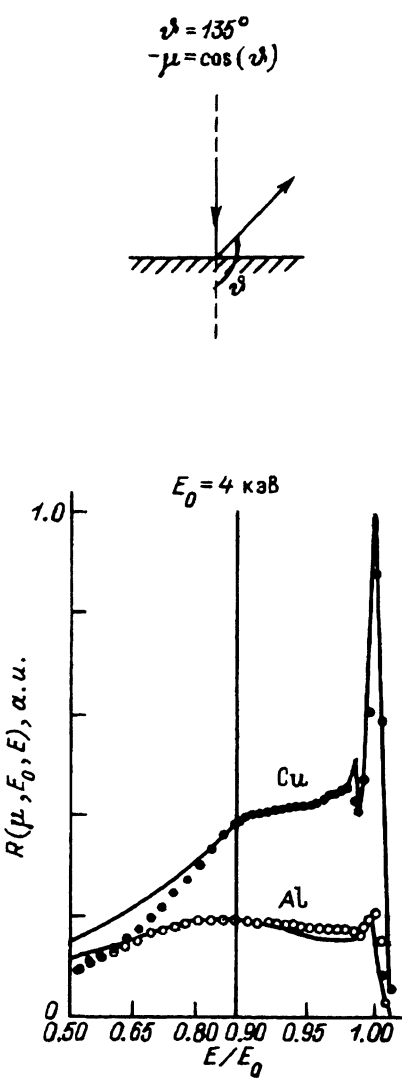


Рис. 2. Энергетические спектры электронов, отраженных от массивных поликристаллических образцов из меди и алюминия.  
Сплошные кривые — теория, точки — эксперимент.

Раскладывая (3) в ряд по  $u$ , получаем

$$t(u, \Delta) = \exp\left(-\frac{u}{l_{in}}\right) \left( \delta(\Delta) + u\omega_{in}(\Delta) + \frac{u^2}{2!}\overline{\omega_{in}^2(\Delta)} + \dots + \frac{u^k}{k!}\overline{\omega_{in}^k(\Delta)} + \dots \right), \quad (4)$$

где  $l_{in}$  — средний пробег между неупругими рассеяниями,  $\omega_{in}(\Delta)$  — дифференциальное сечение неупругого рассеяния,  $\overline{\omega_{in}^k(\Delta)}$  —  $k$ -кратная свертка дифференциальных сечений [10],  $\delta(\Delta)$  — дельта-функция Дирака.

В работе [10] получено явное аналитическое выражение для вычисления ряда (4) в случае, если  $\omega_{in}(\Delta)$  имеет вид [11]

$$\omega_{in}(\Delta) = 0, \quad \text{если } \Delta < J; \quad \omega_{in}(\Delta) = F(E_0)/\Delta^2, \quad \text{если } \Delta \geq J, \quad (5)$$

где  $J$  — пороговое значение потерь энергии, определяемое в соответствии с [10].

Интегрирование по  $u$  (2) и (4) определит  $R(\mu, \Delta)$  в виде ряда по кратностям неупрого рассеяния

$$R(\mu, \Delta) = C_0\delta(\Delta) + C_1\omega_{in}(\Delta) + \dots + C_k\overline{\omega_{in}^k(\Delta)} + \dots, \quad (6)$$

где

$$C_k = \int_0^\infty \frac{u^k}{k!} \exp(-u/l_{in}) A(u, \mu) du. \quad (7)$$

Влияние аппаратной функции энергоанализатора и немоноэнергетичности падающего пучка будем описывать распределением Гаусса с дисперсией  $\sigma^2$ :  $f(\Delta) = \sigma^2(2\pi)^{-1/2} \exp(-\Delta^2/2\sigma^2)$ . Свертка (6) с  $f(\Delta)$  определит наблюдаемое в эксперименте энергетическое распределение.

На рис. 2 экспериментальные данные при  $E_0 = 4, 8, 32$  кэВ и рассеянии на угол  $\vartheta = 135^\circ$  сравниваются с расчетами на основе (2), (6), (7) при  $\sigma = 2\%$  от  $E_0$ . Величины  $\sigma_l$ ,  $l_{tr}$  вычислялись на основе таблиц [12]. Количественное несовпадение расчетов с экспериментом в области малых потерь энергии объясняется упрощенной моделью сечения  $\omega_{in}(\delta)$  (5). Расхождение в области больших потерь энергии связано с односкоростным приближением.

Развитые представления позволяют сформулировать условия четкого экспериментального наблюдения “упругого пика”, определяемого первыми слагаемыми формулы (6)

$$\text{а } l_{in} > l_{tr}. \quad (8)$$

В этом случае вклад упругоотраженных электронов будет определяющим и спектр будет иметь вид характерный для обзорных спектров в оже-спектроскопии, поскольку зависимость  $C_k$  от  $k$  (7) будет иметь максимум при  $k = 0$ . Неравенство (8) позволяет отследить динамику перехода спектра из формы с ярко выраженным “упругим пиком” (характерной для оже-спектроскопии) к “ширококупольной” форме, каковая наблюдалась в экспериментах [2–8]. Отмечая, что  $l_{in} \sim E_0/Z$  (где

$Z$  — заряд ядер мишени), но  $l_{tr} \sim E_0^2/Z^2$ , видим, что неравенство (8) на мишенях с большим  $Z$  будет удовлетворяться при больших значениях  $E_0$ , что экспериментально и подтверждается (рис. 1, 2).

б) Наличие на поверхности слоя углеводородов (материала с малым  $Z$ ) толщиной  $d \approx l_{in}$  приведет к подавлению “упругого пика”.

в)  $\sigma < J$ . Это условие наиболее критично при возрастании энергии  $E_0$ , когда нарушается неравенство (8).

### Список литературы

- [1] Afanas'ev V.P., Naujoks D. // Phys. Stat. Sol. (b). 1991. Vol. 164. P. 133–141.
- [2] Афанасьев В.П., Наукс Д., Федоров С.Д., Щеглов С.А. Препринт МЭИ. № 02-21. М., 1991. 20 с.
- [3] Kulenkampff H., Ruttiger K. // Z. Phys. 1958. Bd 152. S. 249–260.
- [4] Kulenkampff H., Ruttiger K. // Z. Phys. 1954. Bd 137. S. 426–436.
- [5] Kanter H. // Ann. der Phys. 1957. Bd 20. S. 144–168.
- [6] Bishop H.E. // Proc. 4<sup>th</sup> Intern. Conf. on X-ray Optics and X-ray Microanalysis. Paris, 1965. P. 153–158.
- [7] Darlington E.H., Cosslett V.E. // J. Phys. D. 1972. Vol. 5. P. 1969–1981.
- [8] Sternglass E.J. // Phys. Rev. 1954. Vol. 95. P. 345–356.
- [9] Ландау Л.Д. Собрание трудов. М.: Наука, 1969. Т. 1. С. 482–491.
- [10] Afanas'ev V.P., Yagova N.V. // Z. Phys. B. 1993. Vol. 92. P. 199–203.
- [11] Liljequist D. // J. Phys. D. 1978. Vol. 11. P. 839–858.
- [12] Riley M.E., MacCallum C.J., Biggs F. // Atom. Data and Nucl. Data Tabl. 1975. Vol. 15. N 5. P. 443–476.

---

05;07;10;12

© 1994 г.

Журнал технической физики, т. 64, в. 8, 1994

## ИЗМЕРЕНИЕ ПРОПУСКАНИЯ СИНХРОТРОННОГО ИЗЛУЧЕНИЯ ИНФРАКРАСНОГО ДИАПАЗОНА ПЛЕНКОЙ $\text{YBa}_2\text{Cu}_3\text{O}_{7-\delta}$ В СВЕРХПРОВОДЯЩЕМ СОСТОЯНИИ

*P.Н.Скунтей, С.И.Тютюнников, В.Н.Шалляпин, Н.И.Балалыкин*

Объединенный институт ядерных исследований,  
141980, Дубна  
(Поступило в Редакцию 16 декабря 1993 г.)

В работе [1] впервые было проведено измерение спектра пропускания высокотемпературной сверхпроводящей (ВТСП) пленки  $\text{YBa}_2\text{Cu}_3\text{O}_{7-\delta}$  на подложке из  $\text{MgO}$  в инфракрасной области спектра на пучке синхротронного излучения с использованием фурье-спектрометра и найдено значение величины энергетической щели, которое составило  $2\Delta = 25$  МэВ. Однако, по мнению авторов, на точность измерения величины  $\Delta$  оказывают влияние пики фононных мод. С целью уменьшения влияния этих факторов наши измерения пропускания ВТСП пленки проводились на существенно большем уровне мощности синхротронного излучения (СИ) в инфракрасном диапазоне (ИК), которое генерировалось импульсным накопителем электронов.